

1 個の演算増幅器を用いた 接地形高次イミタンス・シミュレーション (その 1)

加 藤 芳 信 · 山 本 和 輝
藤 本 三 治

Simulation of Grounded Type Higher-order Immittance Using a Single Operational Amplifier (Part I)

Yoshinobu KATO · Kazuki YAMAMOTO
Sanji FUJIMOTO

Algorithms for the realization of grounded type higher-order immittance elements using a single operational amplifier, which have been proposed by Prof. Noguchi, are unified. The realization of FDNCAP ($Y = s^3 E$), FDNR ($Y = 1/s^2 M$), FDNC ($Y = s^2 D$), inductance ($Y = 1/sL$) and capacitance-multiplier ($Y = sC$) is digged.

By using a computer, new circuits are derived. This paper (Part I) deals with the realization of FDNCAP and FDNR on account of limited space.

The new proposed circuits of FDNCAP and FDNR, which consist of one operational amplifier, four capacitors and four resistors, are applied to the third-order low-pass filter and the second-order high-pass filter, respectively. The experimental values agree fairly with the theoretical values in the low frequency range.

1. まえがき

最近、1個の演算増幅器を用いた接地形高次イミタンス素子の実現法に興味が持たれている^{1, 3-23)}。これらは、複素周波数 s に関する有理関数の分子または分母の s のある次数の係数を代数的に零にする（即ち、引算により零にする）という、いわゆる代数的実現法に属する。従って、その実現法は、トポロジー的実現法²⁴⁾に比べて一般に素子感度が高いと言われているが、その反面、演算増幅器の数が1個で済むため、消費電力が少なく、従って発熱量が少なく、集積化する際に有利となる。又、代数的実現であるため、素子値がずれると寄生素子成分が生じるが、フィルタ回路等へ応用する場合には、これを積極的に利用することにより、回路全体の素子数を減らせる可能性もある（3.2, 4.2 参照）。

図-1に、複素周波数 s に関する1~3次のイミタンス素子を示す。ここで、イミタンス

(Immittance) とはインピーダンス (Impedance) とアドミタンス (Admittance) の総称である。1次のイミタンス素子には、容量 (キャパシタンス) C と、インダクタンス L がある。これらの素子は自然界に存在する。2次以上のイミタンス素子は、それ自身では自然界に存在しないので、その実現のためには1個以上の能動素子 (例えば、演算増幅器) を必要とする。2次のイミタンス素子には、周波数依存形負性コンダクタンス (FDNC: Frequency Dependent Negative Conductance) D と、周波数依存形負性抵抗 (FDNR: Frequency Dependent Negative Resistance) M がある⁴⁾。このうち、 D は1969年にBruton氏によって提案された²⁾。3次のイミタンス素子には、周波数依存形負性容量 (FDNCAP: Frequency Dependent Negative Capacitance) E と、周波数依存形負性インダクタンス (FDNI: Frequency Dependent Negative Inductance) N がある。これらの素子は野口氏によって最近提案された^{13, 15-18)}。

本論文では、野口氏の回路構成法^{8-12, 14)}を統一化して、1個の演算増幅器を含む5節点 (但し、アース点も1つの節点と見なす) の回路構造 (図-2参照) に対して、図-1のうちの E , M , D , L , C の実現のための計算機シミュレーションを行った結果、新回路を含む有用な回路を見出したことについて報告する。又、それらの回路をフィルタ回路へ応用した実験結果などについて述べる。なお、応用例は野口氏の実験結果と比較するため、野口氏の応用例に準じる。実験に用いた演算増幅器はFairchild社のμA741HCであり、その電源電圧 V_s は±15[V]である。又、演算増幅器の正負入力端子間には、逆並列接続の保護用ダイオード 1S1588 を挿入してある。実験に用いた容量および抵抗の誤差は0.2%以下である。

なお、今回の報告 (その1) では、紙数の都合上、 E と M についてのみ述べる。それ以外については、次回以降に報告する予定である。

2. 基本回路および一般式の導出^{19, 21)}

図-2に、1個の演算増幅器を含む5節点の基本回路を示す。ここで、節点①の電圧を V_i と記し、節点①-①間のアドミタンスを y_{ii} と記す ($i, j \in 0 \sim 4$)。基準節点①はアース点である。節点①は入力端子であり、その入力電流を I_1 とする。演算増幅器が理想的であると仮定して (即ち、演算増幅器をナレータ・ノレータ対に置換して)²⁵⁾、節点①, ②, ③でKCL (キルヒホフの電流則) を求めると

Order of s	Admittance $Y [S]$			Impedance $Z [\Omega]$		
	Name	Symbol	Characteristics	Name	Symbol	Characteristics
1	Capacitance		$Y = sC$	Inductance		$Z = sL$
2	FDNC		$Y = s^2D$	FDNR		$Z = s^2M$
3	FDNCAP		$Y = s^3E$	FDNI		$Z = s^3N$

図-1 複素周波数 s に関する1~3次のイミタンス素子

$$\left. \begin{array}{l} I_1 = y_{12}(V_1 - V_2) + y_{13}(V_1 - V_3) + y_{14}(V_1 - V_4) \\ O = y_{02}(V_2 - O) + y_{12}(V_2 - V_1) + y_{24}(V_2 - V_4) \\ O = y_{03}(V_3 - O) + y_{13}(V_3 - V_1) + y_{34}(V_3 - V_4) \end{array} \right\} \dots \quad (1)$$

となり、更に、演算増幅器の性質

$$V_2 = V_3 \quad \dots \quad (2)$$

を代入してマトリクス表示すれば次式を得る。

$$\begin{bmatrix} I_1 \\ O \\ O \end{bmatrix} = \begin{bmatrix} y_{12} + y_{13} + y_{14} & -y_{12} - y_{13} & -y_{14} \\ -y_{12} & y_{02} + y_{12} + y_{24} & -y_{24} \\ -y_{13} & y_{03} + y_{13} + y_{34} & -y_{34} \end{bmatrix} \begin{bmatrix} V_1 \\ V_2 \\ V_4 \end{bmatrix} \quad \dots \quad (3)$$

従って、入力アドミタンスは次式となる。

$$Y_{in} \triangleq \frac{I_1}{V_1} = \frac{(y_{03}y_{24} - y_{02}y_{34})(y_{12} + y_{13} + y_{14}) + y_{14}(y_{03}y_{12} - y_{02}y_{13})}{y_{24}(y_{03} + y_{13}) - y_{34}(y_{02} + y_{12})} \quad \dots \quad (4)$$

ここで、各アドミタンスが容量とコンダクタンスの並列接続であるとすれば、

$$y_{ij} \triangleq sC_{ij} + G_{ij} \quad (i, j \triangleq 0 \sim 4) \quad \dots \quad (5)$$

より、式(4)は次の様になる。

$$Y_{in} = \frac{s^3 n_3 + s^2 n_2 + s n_1 + n_0}{s^2 d_2 + s d_1 + d_0} \quad \dots \quad (6)$$

但し、

$$\left. \begin{array}{l} n_3 = (C_{03}C_{24} - C_{02}C_{34})(C_{12} + C_{13} + C_{14}) + C_{14}(C_{03}C_{12} - C_{02}C_{13}) \\ n_2 = (C_{03}C_{24} - C_{02}C_{34})(G_{12} + G_{13} + G_{14}) + (C_{03}G_{24} + G_{03}C_{24} - C_{02}G_{34} \\ \quad - G_{02}C_{34})(C_{12} + C_{13} + C_{14}) + C_{14}(C_{03}G_{12} + G_{03}C_{12} - C_{02}G_{13} \\ \quad - G_{02}C_{13}) + G_{14}(C_{03}C_{12} - C_{02}C_{13}) \\ n_1 = (C_{03}G_{24} + G_{03}C_{24} - C_{02}G_{34} - G_{02}C_{34})(G_{12} + G_{13} + G_{14}) + (G_{03}G_{24} \\ \quad - G_{02}G_{34})(C_{12} + C_{13} + C_{14}) + C_{14}(G_{03}G_{12} - G_{02}G_{13}) + G_{14}(C_{03}G_{12} \\ \quad + G_{03}C_{12} - C_{02}G_{13} - G_{02}C_{13}) \\ n_0 = (G_{03}G_{24} - G_{02}G_{34})(G_{12} + G_{13} + G_{14}) + G_{14}(G_{03}G_{12} - G_{02}G_{13}) \\ d_2 = C_{24}(C_{03} + C_{13}) - C_{34}(C_{02} + C_{12}) \\ d_1 = C_{24}(G_{03} + G_{13}) + G_{24}(C_{03} + C_{13}) - C_{34}(G_{02} + G_{12}) - G_{34}(C_{02} + C_{12}) \\ d_0 = G_{24}(G_{03} + G_{13}) - G_{34}(G_{02} + G_{12}) \end{array} \right\} \dots \quad (7)$$

式(6)の Y_{in} の分母に s^3 の項がないので、図-2 の基本回路では、図-1 の N を実現できない。

但し、 E , M , D , L , C は実現できる。次章以降で、これらの実現法および応用例などについて述べる。

ここで、次章以降の議論のために、基準容量 C , 基準コンダクタンス G を用いて、式(5)を次のように書き直す。

$$y_{ij} \triangleq sC_{ij}C + g_{ij}G \quad (i, j \triangleq 0 \sim 4) \quad \dots \quad (8)$$

但し、 c_{ij} , g_{ij} は非負の実係数である。

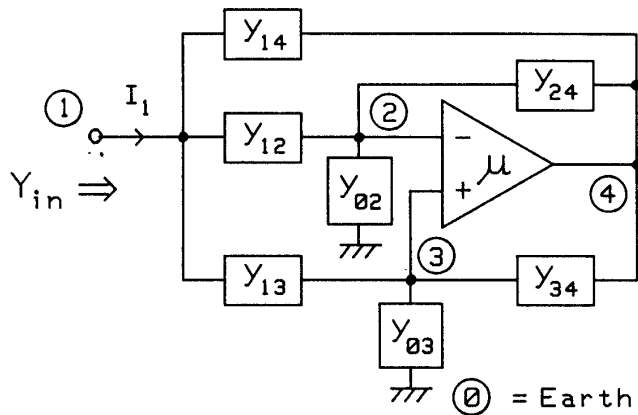


図-2 1個の演算増幅器を含む5節点の基本回路

点の回路構造（但し、アース点も1つの節点と見なす）で、容量3個と抵抗6個から構成される¹⁵⁻¹⁷⁾。

本章では、図-2に示した1個の演算増幅器を含む5節点の回路構造に対して計算機シミュレーションを行った結果、容量4個と抵抗4個から構成される新しい接地形FDNCAP回路を見出し、更に、その回路を3次低域通過フィルタへ応用した結果、良好な実験結果を得たので報告する^{19, 21)}。

3.1 接地形FDNCAPの実現

図-2の基本回路で接地形FDNCAPを実現するには、FDNCAPの入力アドミタンスが

$$Y_{in} = s^3 E \quad \dots \dots \dots \quad (9)$$

であるため、式(6), (7)で

$$[条件1] n_2 = n_1 = n_0 = d_2 = d_1 = 0 \quad \dots \dots \dots \quad (10)$$

$$[条件2] E \triangleq n_3/d_0 > 0 \quad \dots \dots \dots \quad (11)$$

の両方を満足する素子の組合せを見出せばよい。

計算機を用いて、FORTRANプログラムのDO文により、式(8)の c_{ij} 及び g_{ij} を0, 1, 2, 3, 4と変化させ（即ち、素子値の拡がりを4まで許すことに対応する）、条件1及び2を満足する全ての組合せを導出した†。その結果、素子数の少ない新回路が見出されたので、それを図-3に示す。又、表-1に素子値の組合せを示す。

表-1の組合せE-1の場合、式(7)及び(6)は次の様になる。

$$\left. \begin{aligned} n_3 &= C_{14} C_{03} C_{12} = 3C^3 \\ n_2 &= (C_{03} G_{24} - C_{02} G_{34})(C_{12} + C_{14}) - C_{14} C_{02} G_{13} + G_{14} C_{03} C_{12} = 0 \\ n_1 &= (C_{03} G_{24} - C_{02} G_{34})(G_{13} + G_{14}) - G_{14} C_{02} G_{13} = 0 \end{aligned} \right\} \dots \dots \dots \quad (12)$$

† プログラムは注釈行も含めて123行から成る。なお、本学電子計算機室のNEC製中型電子計算機AC OS450（計算能力：1.1 MIPS）を用いて、計算時間は約2時間38分を要した。なお、参考用に、このプログラムリストを付録-1に示す。

$$\begin{aligned} n_0 &= d_2 = 0 \\ d_1 &= G_{24} C_{03} - G_{34}(C_{02} + C_{12}) = 0 \\ d_0 &= G_{24} G_{13} = 4G^2 \\ \therefore Y_{in} &= s^3 3C^3 / 4G^2 = s^3 E \end{aligned} \quad \left. \begin{array}{l} \dots \dots \dots (12) \\ \dots \dots \dots (13) \end{array} \right\}$$

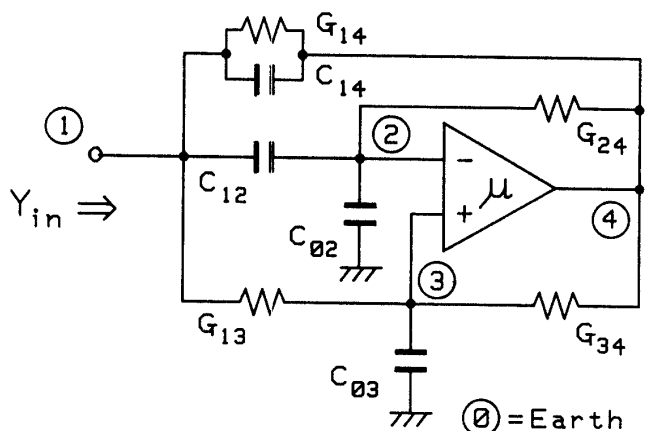


図-3 容量 4 個と抵抗 4 個から構成される接地形 FDNCAP 回路（新回路）

表-1 図-3 の接地形 FDNCAP 回路の素子値の組合せ
(但し、式(8)の c_{ij} 及び g_{ij} を 0, 1, 2, 3, 4 と変化させた場合)

組合せ	C_{02}	C_{03}	C_{12}	C_{14}	G_{13}	G_{14}	G_{24}	G_{34}	$E \triangleq n_3/d_0$
E-1	1C	1C	1C	3C	2G	2G	2G	1G	$3C^3/4G^2$
E-2	2C	1C	1C	2C	1G	1G	3G	1G	$2C^3/3G^2$
E-3	2C	1C	2C	4C	2G	2G	4G	1G	$8C^3/8G^2$
E-4	2C	2C	1C	3C	2G	2G	3G	2G	$6C^3/6G^2$
E-5	2C	3C	1C	4C	1G	1G	1G	1G	$12C^3/1G^2$
E-6	3C	2C	1C	1C	2G	1G	4G	2G	$2C^3/8G^2$
E-7	3C	3C	1C	3C	2G	2G	4G	3G	$9C^3/8G^2$

3.2 接地形 FDNCAP の 3 次 LPF への応用

図-3 の回路を、野口氏と同様に¹⁷⁾ 3 次 LPF (低域通過フィルタ) へ応用する。図-4 に、接地形 FDNCAP を用いた 3 次 LPF を示す。点線で囲んだ部分を、図-3 の回路で素子値をずらすことにより実現する†。今、表-1 の組合せ E-1 で次の様に変更する。

$$C_{14} = 1.5 C, \quad G_{13} = 1G \quad \dots \dots \dots (14)$$

すると、図-3 の回路の入力アドミタンスは

$$Y_{in} = s^3 \frac{1.5C^3}{2G^2} + s^2 \frac{3C^2}{2G} + s \frac{C}{2} = s^3 E_e + s^2 D_e + s C_e \quad \dots \dots \dots (15)$$

と表される。図-4 で、 C_a は付加容量であり

$$C_t \triangleq C_e + C_a \quad \dots \dots \dots (16)$$

とおくと、図-4 の伝達関数 T は次式で表される。但し、 V_1 は入力電圧、 V_2 は出力電圧である。

† もし、素子値をずらさずに 3 次 LPF を実現するとすれば、ここで述べる素子の他に、 D_e の部分を実現するための 1 個の演算増幅器と複数個の容量と抵抗を必要とする。即ち、素子数が増えることになる。

$$T \triangleq V_2/V_1 = 1/\{s^3E_eR_x+s^2D_eR_x+sC_tR_x+1\} \quad \dots \dots \dots \quad (17)$$

更に、 $s = jw = j2\pi f$ （但し、 $j \triangleq \sqrt{-1}$ 、 w は角周波数 [rad/sec]、 f は周波数 [Hz] である）とおくと、伝送量は次式で表される。

$$|T| = 1/\sqrt{(1-w^2 D_e R_x)^2 + w^2 (C_t R_x - w^2 E_e R_x)^2} \\ = 1/\sqrt{\left\{1 - \left(\frac{w}{w_0}\right)\left(\frac{w}{w_1}\right)\frac{1}{Q}\right\}^2 + \left(\frac{w}{w_1}\right)^2 \left\{1 - \left(\frac{w}{w_0}\right)^2\right\}^2} \quad \dots \quad (18)$$

但し、

[設計例] 以上の準備を基に、遮断周波数 $f_0 = 1$ [kHz] の3次LPFを設計する。基準容量 $C = 0.022$ [μ F]、基準コンダクタンス $G = 10^{-4}$ [S] と選ぶと、次の様に求められる。

$$E_e = 7.986 \times 10^{-16} \text{ (22)}$$

$$D_e = 7.26 \times 10^{-12} \quad \dots \dots \dots \quad (23)$$

$$C_t = w_0^2 E_e \doteq 0.031527 \text{ } [\mu\text{F}] \quad \dots \dots \dots \quad (24)$$

$$\therefore C_a = C_t - C_e \approx 0.020527 \text{ } [\mu\text{F}] \quad \dots \quad (25)$$

$$Q = C_t / w_0 D_e \approx 0.69115 \quad \dots \dots \dots \quad (26)$$

又、 f_1 は外部抵抗 R_x の値により次の様になる。

$$\left. \begin{array}{l} R_x = 5 [\text{k}\Omega] のとき, f_1 \doteq 1009.6 \text{ [Hz]} \\ R_x = 10 [\text{k}\Omega] のとき, f_1 \doteq 504.8 \text{ [Hz]} \\ R_x = 20 [\text{k}\Omega] のとき, f_1 \doteq 252.4 \text{ [Hz]} \end{array} \right\} \dots \quad (27)$$

図-5に、設計した3次LPFの実験結果を示す。6 [kHz]以下の周波数では、実測値と理論値

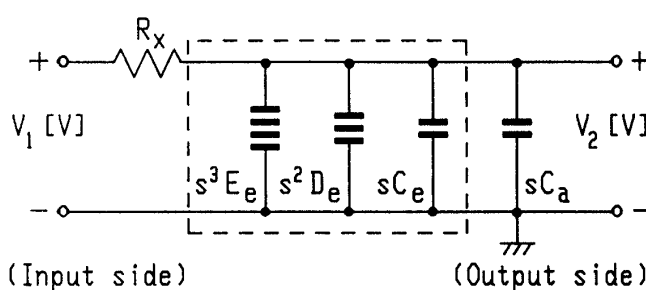


図-4 接地形 FDNCAP を用いた 3 次 LPF

はよく一致している。6 [kHz] 以上の周波数では、演算増幅器 μ A741HC の周波数特性の影響で、実測値と理論値はずれていく。なお、約 1~6 [kHz] の範囲で、伝送量 $|T|$ は -18 [dB/oct] で下降している。従って、本フィルタは十分に実用的である。なお、 $R_x \leq 3,423$ [$k\Omega$] で発振した†。

4. 接地形 FDNR の実現と応用^{20, 21)}

周波数依存形負性抵抗（コンダクタンス）FDNR（FDNC）は、第1章で述べた様に、アドミ

* 図-4のフィルタ回路の入力側を短絡（即ち、 $V_1 = 0$ (V)）して、オシロスコープにより、演算増幅器の出力端子とアース間で発振波形を観察すると次の様であった。例えば、 $R_x = 3.423$ [$\text{k}\Omega$] のとき $f = 1.016$ [kHz] のきれいな正弦波の発振が観察され、 $R_x = 2$ [$\text{k}\Omega$] のとき $f = 1.205$ [kHz] の上下がクリップした波形の発振が観察された。

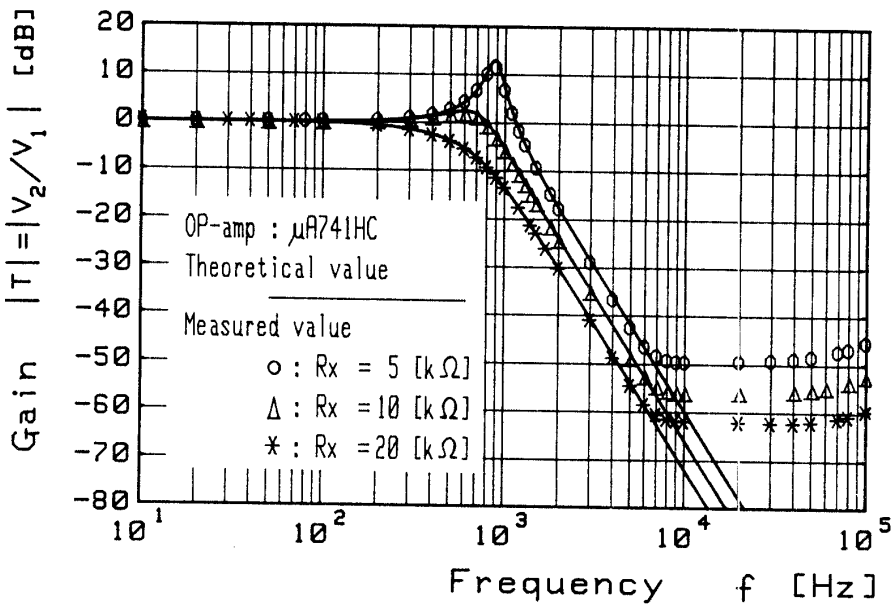


図-5 図-4の3次LPF($f_0 = 1$ [kHz])の実験結果

(但し、電源電圧 $V_s = \pm 15$ [V]、入力電圧 $V_1 = 1$ [V_{rms}]、温度 $T_a = 26$ [°C])

タンスが $Y = 1/s^2M$ ($Y = s^2D$) と表される 2 端子素子である^{4, 12)}。 $Y = 1/s^2M$ と $Y = s^2D$ の素子を総称して FDNR と言うこともあるが、本章で述べる FDNR とは $Y = 1/s^2M$ の素子だけを指す。今までに発表されている 1 個の演算増幅器を用いた接地形 FDNR の実現回路は、(1) 6 節点の回路構造で容量 2 個と抵抗 6 個から成る回路（文献(4)の Table III の Network No. 2）、(2) 5 節点の回路構造で容量 3 個と抵抗 6 個から成る回路（文献(12)の図-3 の M-1 の回路）、である。

本章では、前章と同様の考え方で、1 個の演算増幅器を含む 5 節点の回路構造（即ち、図-2）に対して計算機シミュレーションを行った結果、容量 4 個と抵抗 4 個から成る新しい接地形 FD NR 回路を見出し、更に、それを 2 次高域通過フィルタへ応用し、良好な実験結果を得たので報告する^{20, 21)}。

4.1 接地形 FDNR の実現

図-2の基本回路で接地形FDNRを実現するには、FDNRの入力アドミタンスが

であるため、式(6) (7)で

[条件1] $n_1 \equiv n_2 \equiv n_3 \equiv d_1 \equiv d_2 \equiv 0$ (28)

[条件2] $M \triangleq d_2/n_2 \geq 0$ (25)

の両方を満足する素子の組合せを見出せばよい。3.1と同様に、図-2の y_{ij} を式(8)で表し、計算機を用いて、その c_{ij} 及び g_{ij} を0, 1, 2, 3, 4と変化させて、条件1及び2を満足する素子値の組合せを求めた。その結果、素子数の少ない新回路が見出されたので、それを図-6に示す。表-2に、図-6の回路の素子値の組合せを示す。組合せM-1の場合、式(7)及び(6)は次の様になる。

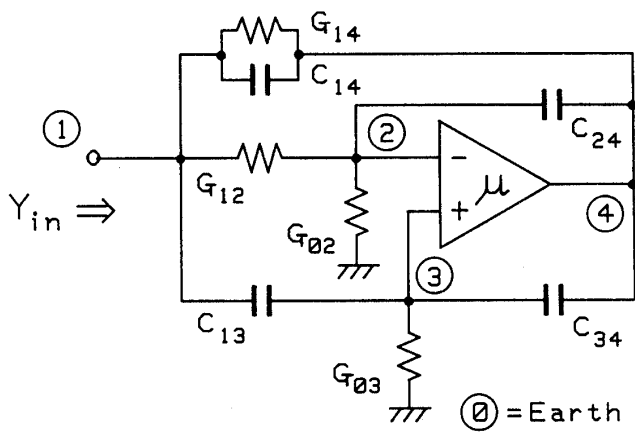


図-6 容量4個と抵抗4個から構成される接地形FDNR回路（新回路）

$$\left. \begin{aligned}
 n_3 &= d_0 = 0 \\
 n_2 &= (G_{03}C_{24} - G_{02}C_{34})(C_{13} \\
 &\quad + C_{14}) - C_{14}G_{02}C_{13} = 0 \\
 n_1 &= (G_{03}C_{24} - G_{02}C_{34})(G_{12} \\
 &\quad + G_{14}) + C_{14}G_{03}G_{12} \\
 &\quad - G_{14}G_{02}C_{13} = 0 \\
 n_0 &= G_{14}G_{03}G_{12} = 12G^3 \\
 d_2 &= C_{24}C_{13} = 1C^2 \\
 d_1 &= C_{24}G_{03} - C_{34}(G_{02} + G_{12}) \\
 &= 0 \\
 \therefore Y_{in} &= 12G^3/s^2C^2 \\
 &= 1/s^2M \quad \dots \dots \dots \quad (32)
 \end{aligned} \right\} \dots \quad (31)$$

表-2 図-6 の接地形 FDNR 回路の素子値の組合せ
 (但し、式(8)の c_{ij} 及び g_{ij} を 0, 1, 2, 3, 4 と変化させた場合)

組合せ	C_{13}	C_{14}	C_{24}	C_{34}	G_{02}	G_{03}	G_{12}	G_{14}	$M \triangleq d_2 / n_0$
M-1	1C	1C	1C	1C	2G	3G	1G	4G	$1C^2 / 12G^3$
M-2	1C	1C	3C	1C	2G	1G	1G	2G	$3C^2 / 2G^3$
M-3	2C	1C	4C	2C	3G	2G	1G	1G	$8C^2 / 2G^3$
M-4	2C	2C	2C	1C	1G	1G	1G	3G	$4C^2 / 3G^3$
M-5	2C	2C	3C	2C	2G	2G	1G	3G	$6C^2 / 6G^3$
M-6	2C	2C	4C	1C	2G	1G	2G	4G	$8C^2 / 8G^3$
M-7	2C	2C	4C	3C	3G	3G	1G	3G	$8C^2 / 9G^3$

4.2 接地形 FDNR の 2 次 HPF への応用

図-6の回路を、文献(12)と同様に、2次HPF(高域通過フィルタ)へ応用する。図-7に、接地形FDNRを用いた2次HPFを示す。点線で囲んだ部分を、図-6の回路で素子値をずらすことにより実現する†。

図-7の伝達関数は次の様に表される。

$$T \triangleq \frac{V_2}{V_1} = \frac{s^2 M_e L_e G_x}{s^2 M_e L_e (G_x + G_t) + s M_e + L_e} = \frac{s^2 H}{s^2 + s(w_0/Q) + w_0^2} \quad \dots \dots \dots \quad (33)$$

但し、

† もし、素子値をずらさずに2次HPFを実現するすれば、ここで述べる素子の他に、 L_e の部分を実現するための1個の演算増幅器と複数個の容量と抵抗を必要とする。即ち、素子数が増えることになる。

$$電圧拡大率 \quad Q = L_e \sqrt{(G_x + G_t) / M_e} \quad \dots \dots \dots \quad (36)$$

ここで、 $s = jw = j2\pi f$ とおくと伝送量は次式となる。

$$|T| = 1/\sqrt{\left(1 + \frac{G_t}{G_x} - \frac{1}{w^2 M_e G_x}\right)^2 + \left(\frac{1}{w L_e G_x}\right)^2} \quad \dots \dots \dots \quad (37)$$

〔設計例1〕 今, $H = 1/2$, $Q = 1/\sqrt{2}$ (即ち, バタワース特性), 遮断周波数 $f_0 = 100$ [Hz] の2次HPFを設計する。組合せM-1で $G_{14} = 1G$ と変更すると, 図-6の Y_{in} は次の様になる。

$$Y_{in} = (1/sL_e) + (1/s^2M_e) \dots \quad (38)$$

$$L_e \triangleq C/3G^2, \quad M_e \triangleq C^2/3G^3$$

..... (39)

式(39)と $Q = 1/\sqrt{2}$ を式(36)に代入すれば

$$G_x \pm G_t \equiv 3G/2 \quad \dots \dots \dots \quad (40)$$

$$\therefore C = \sqrt{2} G / w_0 \dots \dots \dots \quad (41)$$

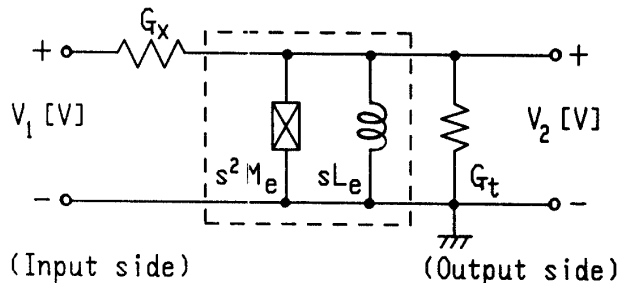


図-7 接地形 FDNR を用いた2次 HPF

又, $H = 1/2$ より

$$G_x \equiv G_t = 3G/4 \quad \dots \dots \dots \quad (42)$$

今、 $G = 2 \times 10^{-5} [\text{S}]$ と選び、 $f_0 = 100 [\text{Hz}]$ を式(39)~(42)に代入すれば次の様に求まる。

$$C \doteq 0.045016 \text{ } [\mu\text{F}] \quad \dots \quad (43)$$

$$G_x = G_t = 1.5 \times 10^{-5} [\text{S}] \quad \dots \dots \dots \quad (44)$$

$$Le \equiv 37,51318 [\text{H}] \dots \dots \dots \quad (45)$$

$$M_e \approx 0.0844343 \quad \dots \quad (46)$$

図-8に実験結果を示す。上記の設計のままでは、約5[kHz]で理論値 $|T| = -6.02に対して実測値 $|T| = -0.128\mathrm{[dB]}$ とピークが生じたので、文献(12)と同様に、 $C_{03} = 303\mathrm{[pF]}$ を$

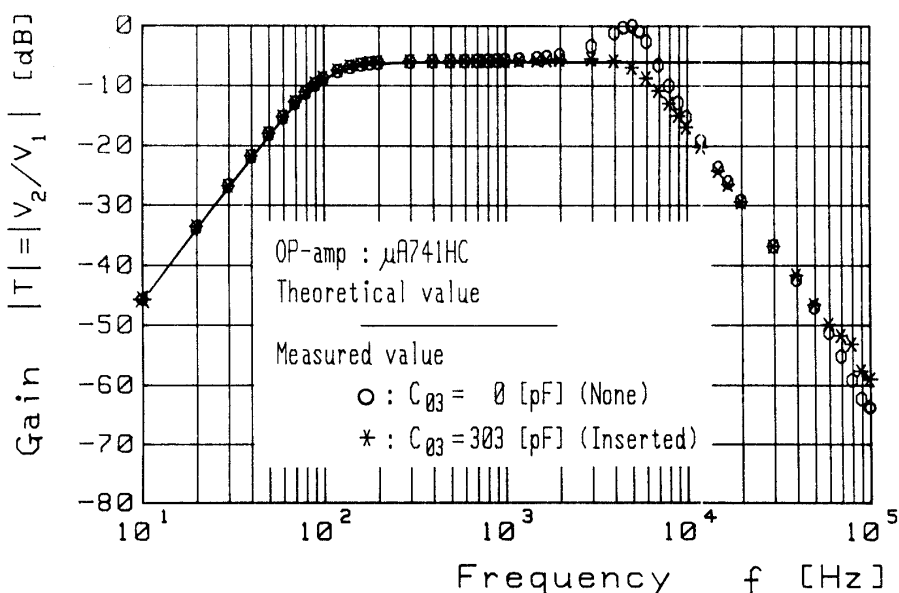


図-8 図-7 の 2 次 HPF (設計例 1: $f_0 = 100$ [Hz]) の実験結果
 (但し, $V_s = \pm 15$ [V], $V_1 = 1$ [V_{rms}], $T_a = 26$ [°C])

挿入してピークを押えた。その場合、4 [kHz] 以下では実測値と理論値はよく一致する。なお、10 [kHz] 以上で、 $|T|$ が約 -12 [dB/oct] で下降しているのは、演算増幅器の周波数特性の影響によるものである。

[設計例 2] 次に, $H = 1/2$, $Q = 1/\sqrt{2}$, $f_0 = 1$ [kHz] の 2 次 HPF を設計する。設計例 1 と同様に組合せ M-1 で $G_{14} = 1$ G と変更した回路を用いるとすれば, $f_0 = 1$ [kHz] の場合も, 式(38)~(42)が成立する。基準コンダクタンスを $G = 5 \times 10^{-5}$ [S] と選べば, 次の様に求まる。

$$G_x = G_t = 3.75 \times 10^{-5} [\text{S}] \quad \dots \dots \dots \quad (48)$$

$$Le \doteq 1,500527 [H] \quad \dots \quad (49)$$

$$M_e \doteq 3.377372 \times 10^{-4} \quad \dots \dots \dots \quad (50)$$

図-9に実験結果を示す。上記の設計のままでは、約14[kHz]で理論値 $|T| = -6.02[\text{dB}]$ に対して実測値 $|T| = -2.725[\text{dB}]$ とピークが生じたので、 $C_{03} = 200[\text{pF}]$ を挿入してピークを抑えた。その場合、約12[kHz]以下では実測値と理論値はよく一致する。

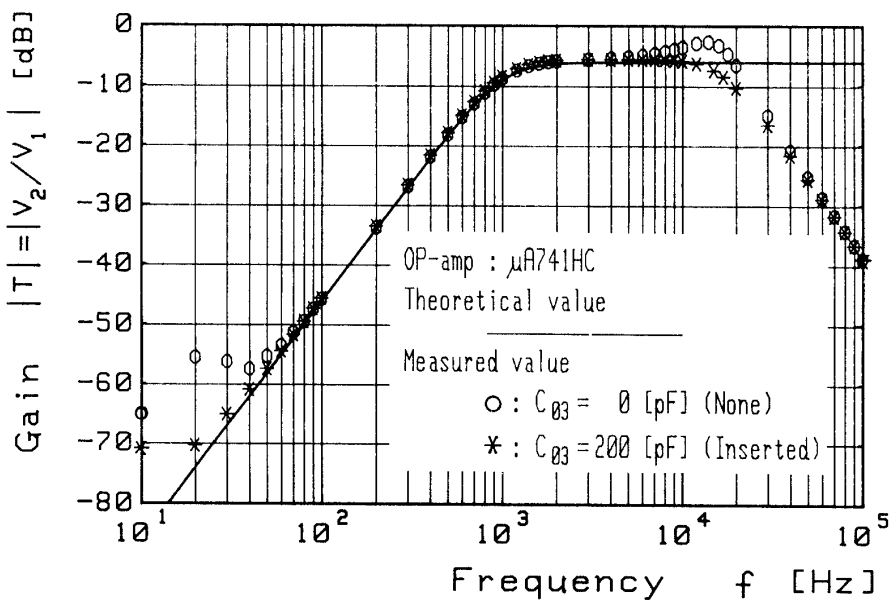


図-9 図-7の2次HPF（設計例2: $f_0 = 1$ [kHz]）の実験結果
 （但し、 $V_s = \pm 15$ [V], $V_1 = 1$ [V_{rms}], $T_a = 27$ [°C]）

5. むすび

本論文（その1）では、まず第2章において、文献(8)～(12), (14)の回路構成法を統一化して、1個の演算増幅器を含む5節点の基本回路（図-2）の一般式を明示した（式(6), (7)参照）。これにより、次章以降で述べる接地形イミタンス素子の導出のための計算機シミュレーションの準備を行った。

第3章では、3次アドミタンス素子 ($Y_{in} = s^3 E$) である FDNCAP について考察した。まず、計算機シミュレーションにより導出された接地形 FDNCAP の新回路(図-3)を提案した。次

に、その回路を3次低域通過フィルタ（図-4）へ応用し、その実験結果が良好であることを示し、図-3のFDNCAP回路の有用性を確認した。

第4章では、2次インピーダンス素子 ($Z_{in} = s^2 M$) であるFDNRについて考察した。まず、計算機シミュレーションにより導出された接地形FDNRの新回路（図-6）を提案した。次に、その回路を2次高域通過フィルタ（図-7）へ応用し、良好な実験結果を得たことを述べた。

なお、本論文では、提案した回路の素子感度等の計算は行わなかったが、実験結果から評価して、これらの回路は低周波域において十分に実用的であると言える。

参考文献

- 1) A. W. Keen : "Inductance Simulation with a Single Differential Input Operational Amplifier", Electron. Lett., vol. 3, no. 4, pp. 136-137 (1967)
- 2) L. T. Bruton : "Network Transfer Functions Using the Concept of Frequency-Dependent Negative Resistance", IEEE Trans. Circuit Theory, vol. CT-16, pp. 406-408 (Aug. 1969)
- 3) H. J. Orchard and A. N. Willson : "New Active-Gyrator Circuit", Electron. Lett., vol. 10, no. 13, pp. 261-262 (June 1974)
- 4) P. Horn and G. S. Moschytz : "Active RC Single-Opamp Design of Driving-Point Impedances", IEEE Trans. Circuits and Systems, vol. CAS-26, no. 1, pp. 22-30 (Jan. 1979)
- 5) 沖根, 中村：“演算増幅器を用いたFDNRの実現”，電子通信学会論文誌(A), vol. J59-A, no. 3, pp. 263-265 (1976-03)
- 6) 今井, 篠崎：“演算増幅器を用いたLCシミュレーション回路の実現について”，電子通信学会論文誌(A), vol. J61-A, no. 5, pp. 456-463 (1978-05)
- 7) 鈴木, 栗木, 佐々木：“イミタンス変換器を用いたキャパシタンスマルチプライアの構成について”，電子通信学会, 回路とシステム理論研究会, CST78-144 (1979-03)
- 8) 野口, 鈴木：“1個の差動型演算増幅器を用いたインダクタシミュレーション”，電子通信学会技術研究報告, 回路とシステム研究会, CAS79-86 (1979-10)
- 9) 野口, 鈴木：“1個の差動入力演算増幅器を用いた接地形インダクタンスの構成法について”，電子通信学会論文誌(C), vol. J63-C, no. 7, pp. 450-451 (1980-07)
- 10) 野口, 鈴木, 若林, 武蔵：“1個の差動型演算増幅器を用いたインダクタの特性”，電子通信学会技術研究報告, 回路とシステム研究会, CAS80-32 (1980-07)
- 11) 野口, 若林, 鈴木, 武蔵：“1個の演算増幅器を用いたインダクタシミュレーション（その2）”，電子通信学会技術研究報告, 回路とシステム研究会, CAS80-33 (1980-07)
- 12) 野口, 若林：“1個の演算増幅器を用いたFDNR回路のシミュレーション”，電子通信学会技術研究報告, 回路とシステム研究会, CAS81-40 (1981-08)
- 13) 野口誠一：“インピーダンス・スケーリングとシミュレーションについて”，電子通信学会技術研究報告, 回路とシステム研究会, CAS81-42 (1981-08)
- 14) 野口誠一：“1個の演算増幅器を用いたキャパシタンスマルチプライアのシミュレーション”，電子通信学会技術研究報告, 回路とシステム研究会, CAS82-38 (1982-07)
- 15) 野口誠一：“1個の演算増幅器によるFDNCAPのシミュレーションとその応用”，電子通信学会技術研究報告, 回路とシステム研究会, CAS83-69 (1983-08)
- 16) 野口誠一：“FDNCAPのシミュレーションとその応用”，電子通信学会論文誌(A), vol. J66-A, no. 10, pp. 1029-1030 (1983-10)
- 17) S. Noguchi : "The Concept of Higher-order Impedance and Simulation of Third-order Admittance FDNCAP", IEEE 1985 ISCAS Proc., pp. 103-104 (June 1985)

- 18) S. Noguchi and T. Ozaki : "Existence of Higher-order Impedances and Simulation of Third-order Impedance FDNI Using a Single Operational Amplifier", 電子通信学会技術研究報告, 回路とシステム研究会, CAS86-113 (1986-10)
- 19) 加藤, 山本, 藤本: "1個の演算増幅器を用いた接地形 FDNCAP の実現", 昭和61年度電気関係学会北陸支部連合大会, B-2 (1986-10)
- 20) 加藤, 山本, 藤本: "1個の演算増幅器を用いた接地形 FDNR の実現", 昭和61年度電気関係学会北陸支部連合大会, B-3 (1986-10)
- 21) 加藤, 山本, 馬, 藤本: "1個の演算増幅器を用いた接地形高次イミタンス素子の実現", 電子情報通信学会技術研究報告, 回路とシステム研究会, CAS87-41 (1987-06)
- 22) 加藤, 山本, 藤本: "1個の演算増幅器を用いた接地形キャパシタンス・マルチプライアの実現", 昭和62年度電気関係学会北陸支部連合大会, B-32 (1987-10)
- 23) 加藤, 山本, 藤本: "1個の演算増幅器を用いた接地形 FDNC の2次低域通過フィルタへの応用", 昭和62年度電気関係学会北陸支部連合大会, B-33 (1987-10)
- 24) 松本, 日比野: "電圧, 電流グラフから所望の回路網を求める方法とその GIC 最小実現への応用", 電子通信学会論文誌(A), vol. J65-A, no. 2, pp. 151-158 (1982-02)
- 25) 加藤, 松本: "ナレータ・ノレータモデル抵抗回路網の実用素子による実現と DC 安定性", 電子通信学会論文誌(A), vol. J67-A, no. 7, pp. 666-673 (1984-07)

付録-1 接地形 FDNCAP を導出するためのFORTRAN プログラム

ILN	FORTRAN STATEMENT
1	C PROGRAMSSSEA (IMPROVED PROGRAM OF PROGRAMSSE)
2	C
3	C ****
4	C ***
5	C FREQUENCY DEPENDENT NEGATIVE CAPACITANCE ***
6	C *** YIN = S**3*E ***
7	C ***
8	C ****
9	C CAPACITANCE = C1,C2,C3,C4,C5,C6,C7 NAME IN THIS PROGRAM
10	C (= C02,C03,C12,C13,C14,C24,C34 ORIGINAL NAME)
11	C CONDUCTANCE = G1,G2,G3,G4,G5,G6,G7 NAME IN THIS PROGRAM
12	C (= G02,G03,G12,G13,G14,G24,G34 ORIGINAL NAME)
13	C NUMERATOR = N3,N2,N1,N0
14	C DENOMINATOR = D2,D1,D0
15	C ID = IDENTIFICATION OF CIRCUIT
16	C NC = NUMBER OF CAPACITANCE
17	C NG = NUMBER OF CONDUCTANCE
18	C N = NUMBER OF CIRCUIT
19	C LINE = LINE COUNTER
20	C MAIN CONDITION FOR YIN=S**3*E (N2=N1=N0=D2=D1=0)
21	C
22	INTEGER C1,C2,C3,C4,C5,C6,C7,G1,G2,G3,G4,G5,G6,G7,D0,D1,D2
23	C
24	LINE=0
25	WRITE(6,1000)
26	N=0
27	IC1=0
28	DO 110 C1=0,4
29	IF(C1.NE.0) IC1=1
30	IC2=0
31	DO 120 C2=0,4
32	IF(C2.NE.0) IC2=1
33	IC3=0
34	DO 130 C3=0,4
35	IF(C3.NE.0) IC3=1
36	IC4=0
37	DO 140 C4=0,4
38	IF(C4.NE.0) IC4=1
39	IC5=0
40	DO 150 C5=0,4
41	IF(C5.NE.0) IC5=1
42	IC6=0
43	DO 160 C6=0,4
44	IF(C6.NE.0) IC6=1
45	IC7=0
46	DO 170 C7=0,4
47	IF(C7.NE.0) IC7=1
48	NC=IC1+IC2+IC3+IC4+IC5+IC6+IC7
49	IF(NC.LT.3) GO TO 170
50	IF(NC.GT.7) GO TO 170
51	D2=C6*(C2+C4)-C7*(C1+C3)
52	IF(D2.NE.0) GO TO 170
53	N3=(C2*C6-C1*C7)*(C3+C4+C5)+C5*(C2*C3-C1*C4)

1 個の演算増幅器を用いた接地形高次イミタンス・シミュレーション（その 1）

```

54      IF(N3.EQ.0) GO TO 170
55      DO 210 G1=0.4
56      DO 220 G2=0.4
57      DO 230 G3=0.4
58      DO 240 G4=0.4
59      DO 250 G5=0.4
60      DO 260 G6=0.4
61      DO 270 G7=0.4
62      C *****
63      C *** CONDITION OF YIN=S**3*E ***
64      C *****
65      D1=C6*(G2+G4)+G6*(C2+C4)-C7*(G1+G3)-G7*(C1+C3)
66      IF(D1.NE.0) GO TO 270
67      N0=(G2*G6-G1*G7)*(G3+G4+G5)+G5*(G2*G3-G1*G4)
68      IF(N0.NE.0) GO TO 270
69      N1=(C2*G6+G2*(C6-C1)*G7-G1*C7)*(G3+G4+G5)+(G2*G6-(1*G7)*(C3+C4+C5)
70      * +C5*(G2*G3-G1*G4)+G5*(C2*G3+G2*C3-C1*G4-G1*C4)
71      IF(N1.NE.0) GO TO 270
72      N2=(C2*C6-C1*C7)*(G3+G4+G5)+(C2*G6+G2*(C6-C1)*G7-(1*C7)*(C3+C4+C5)
73      * +C5*(C2*G3+G2*C3-C1*G4-G1*C4)+G5*(C2*(C3-C1*C4)
74      IF(N2.NE.0) GO TO 270
75      D0=G6*(G2+G4)-G7*(G1+G3)
76      IF(D0.EQ.0) GO TO 270
77      E=REAL(N3)/REAL(D0)
78      C IF(E.LE.0.) GO TO 270
79      IG1=0
80      IG2=0
81      IG3=0
82      IG4=0
83      IG5=0
84      IG6=0
85      IG7=0
86      IF(G1.NE.0) IG1=1
87      IF(G2.NE.0) IG2=1
88      IF(G3.NE.0) IG3=1
89      IF(G4.NE.0) IG4=1
90      IF(G5.NE.0) IG5=1
91      IF(G6.NE.0) IG6=1
92      IF(G7.NE.0) IG7=1
93      ID=IC1*2**13+IC2*2**12+IC3*2**11+IC4*2**10+IC5*2**9+IC6*2**8
94      * +IC7*2**7+IG1*2**6+IG2*2**5+IG3*2**4+IG4*2**3+IG5*2**2
95      * +IG6*2+IG7
96      NG=IG1+IG2+IG3+IG4+IG5+IG6+IG7
97      N=N+1
98      LINE=LINE+1
99      IF(LINE.LE.50) GO TO 300
100     LINE=1
101     WRITE(6,1000)
102     300 WRITE(6,2000) N,C1,C2,C3,C4,C5,C6,C7,G1,G2,G3,G4,G5,G6,G7,
103     *           E,N3,N2,N1,N0,D2,D1,D0,1D,NC,NG
104     270 CONTINUE
105     280 CONTINUE
106     250 CONTINUE
107     240 CONTINUE
108     230 CONTINUE
109     220 CONTINUE
110     210 CONTINUE
111     170 CONTINUE
112     160 CONTINUE
113     150 CONTINUE
114     140 CONTINUE
115     130 CONTINUE
116     120 CONTINUE
117     110 CONTINUE
118     1000 FORMAT(1H1,'    N   C1   C2   C3   C4   C5   C6   C7   G1   G2   G3   G4',
119     *'   G5   G6   G7   E   N3   N2   N1   N0   D2   D1   D0',
120     *'   ID   NC   NG//')
121     2000 FORMAT(1H ,2I5,13I4,F11.4,16,6I5,I9,2I4)
122     STOP
123     END

```